

Fig. 1

2/11

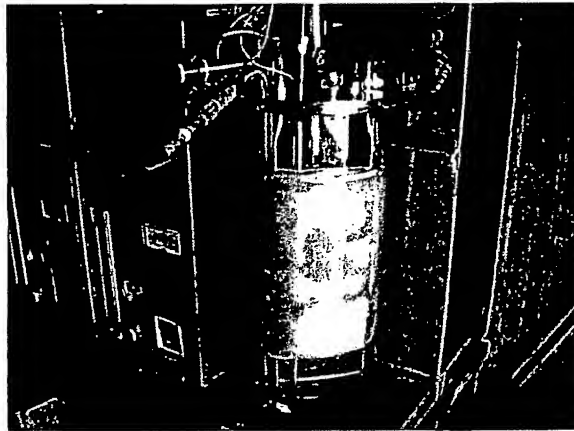


Fig. 2

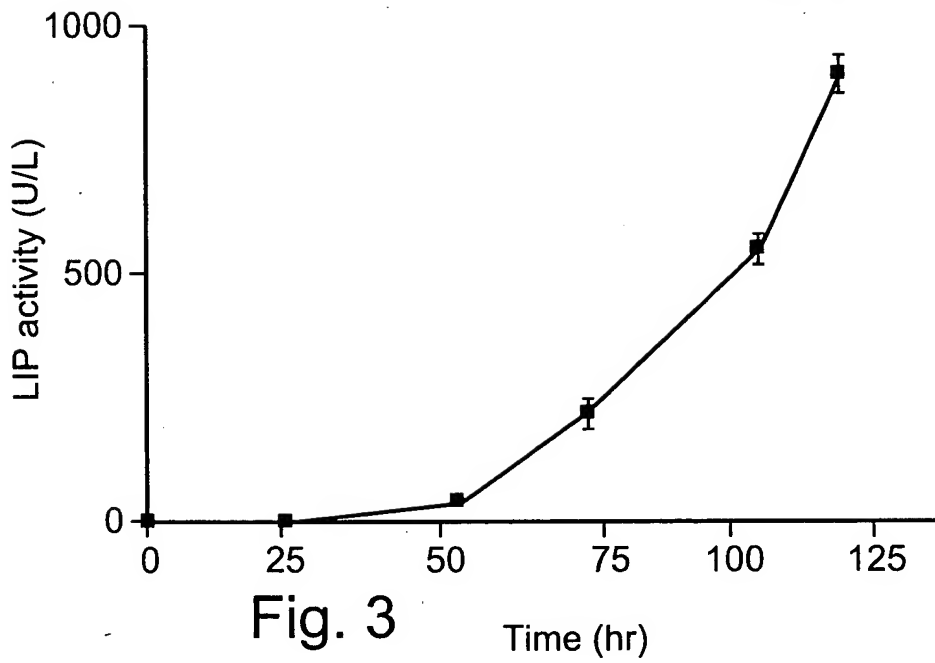


Fig. 3

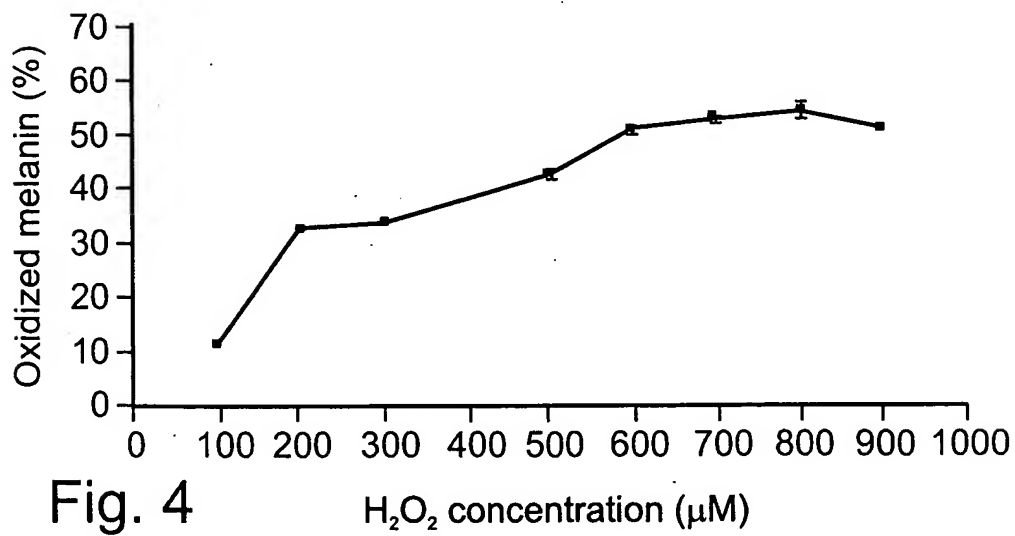


Fig. 4

3/11



0 100 400 700  
H<sub>2</sub>O<sub>2</sub> concentration (μM)

Fig. 5

4/11

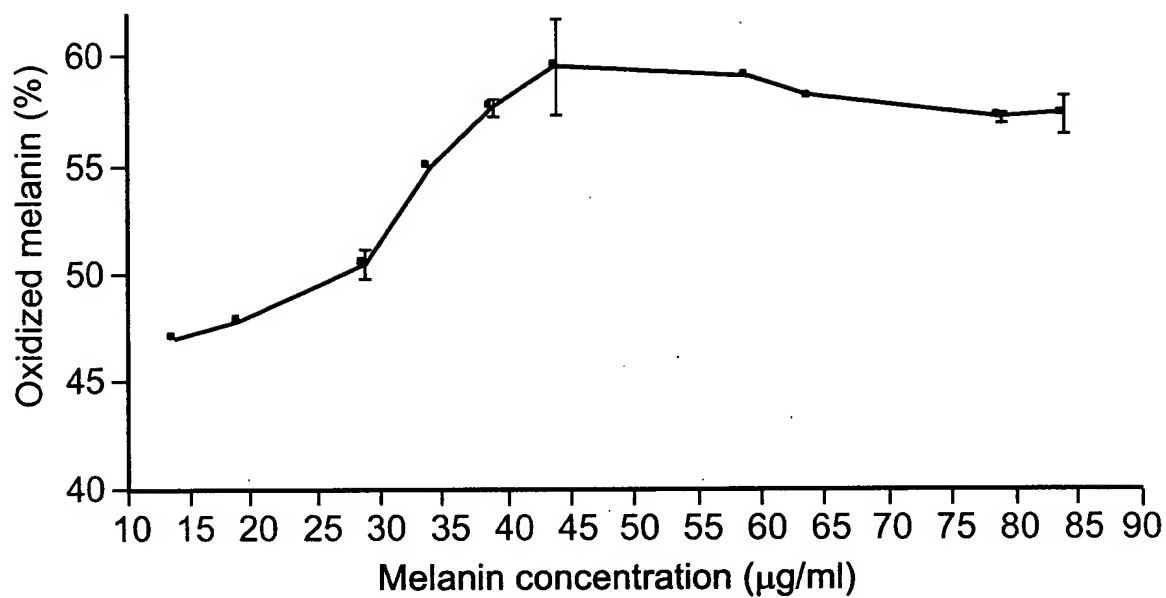


Fig. 6

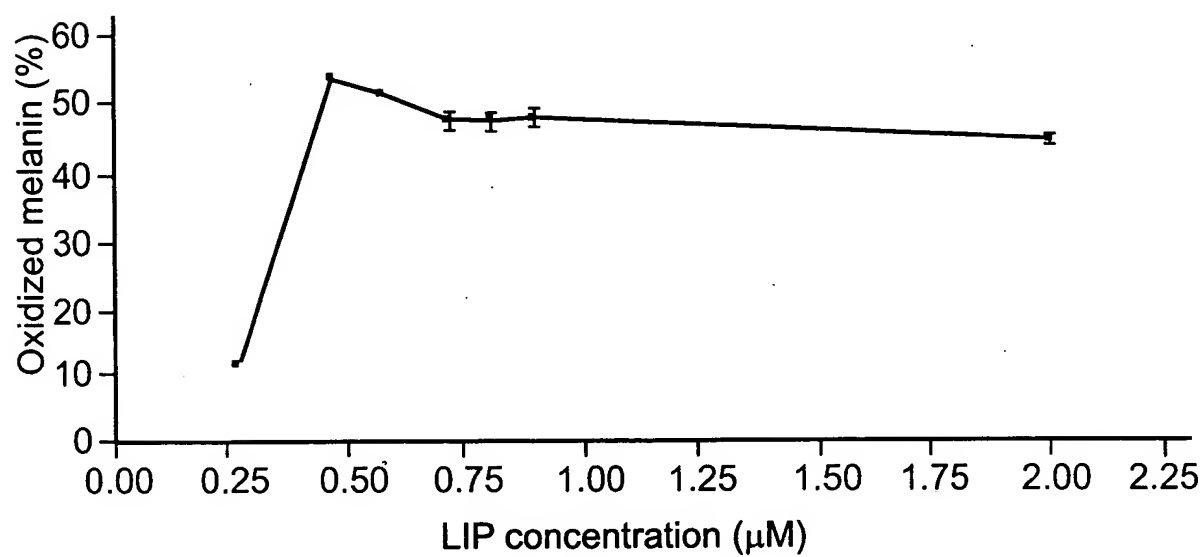


Fig. 7

5/11

Fig. 8a



Fig. 8b

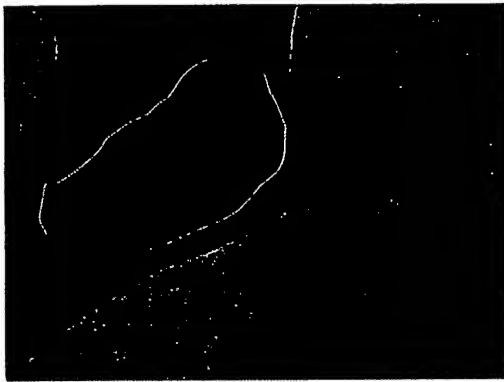


Fig. 9a

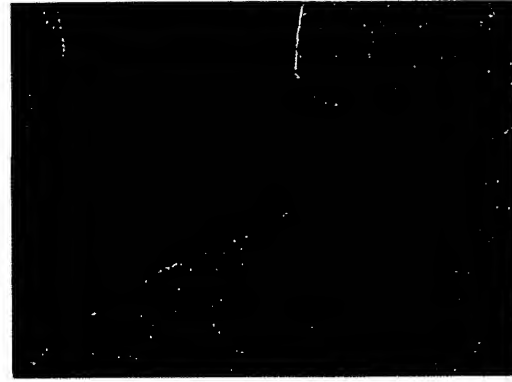


Fig. 9b

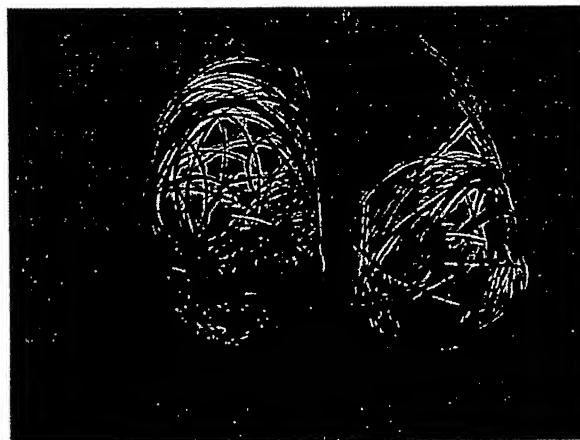


Fig. 10

BEST AVAILABLE COPY

6/11



Fig. 11a



Fig. 11b

BEST AVAILABLE COPY

7/11

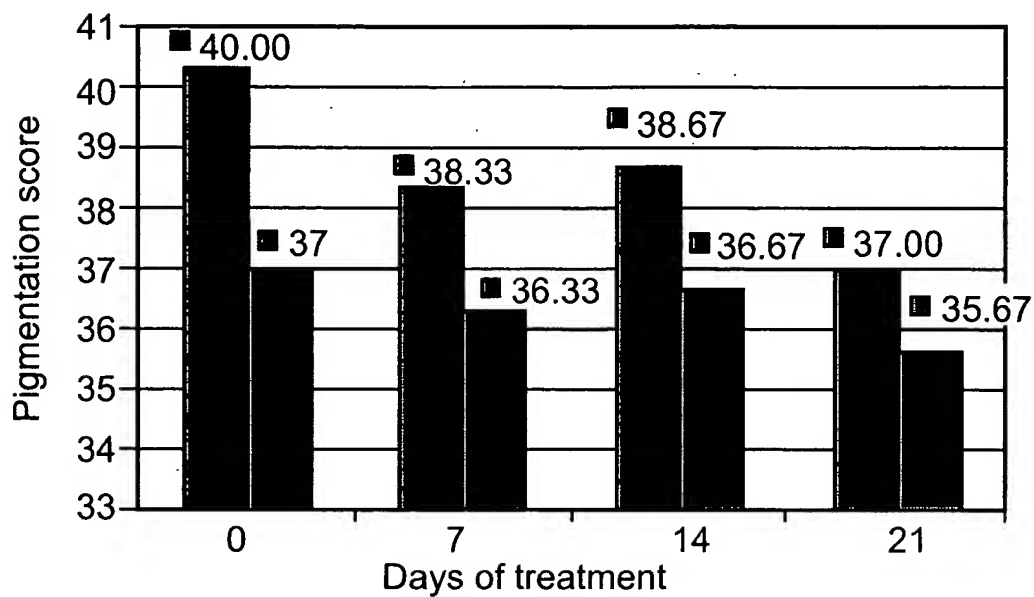


Fig. 12a

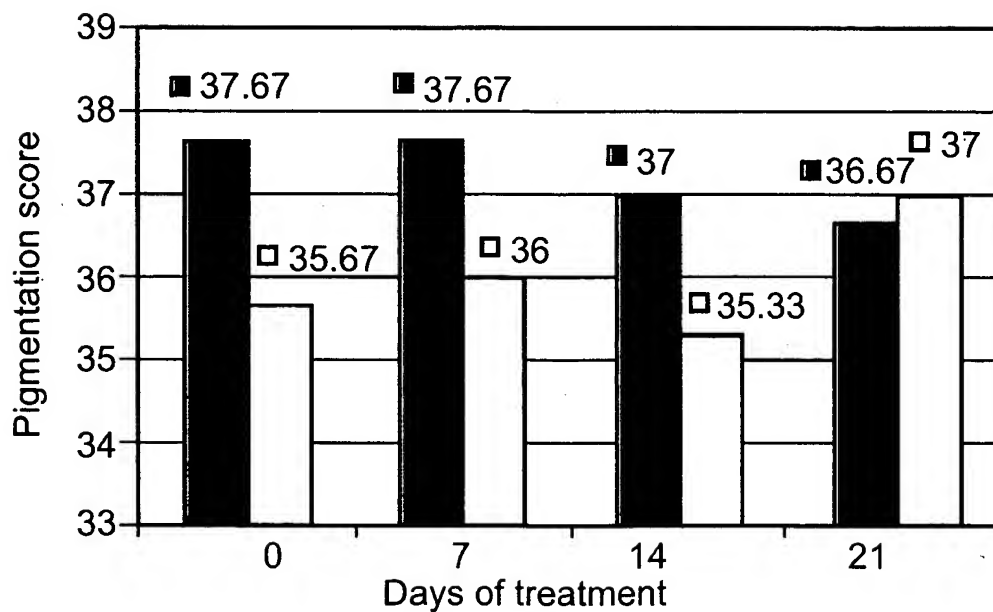


Fig. 12b

8/11

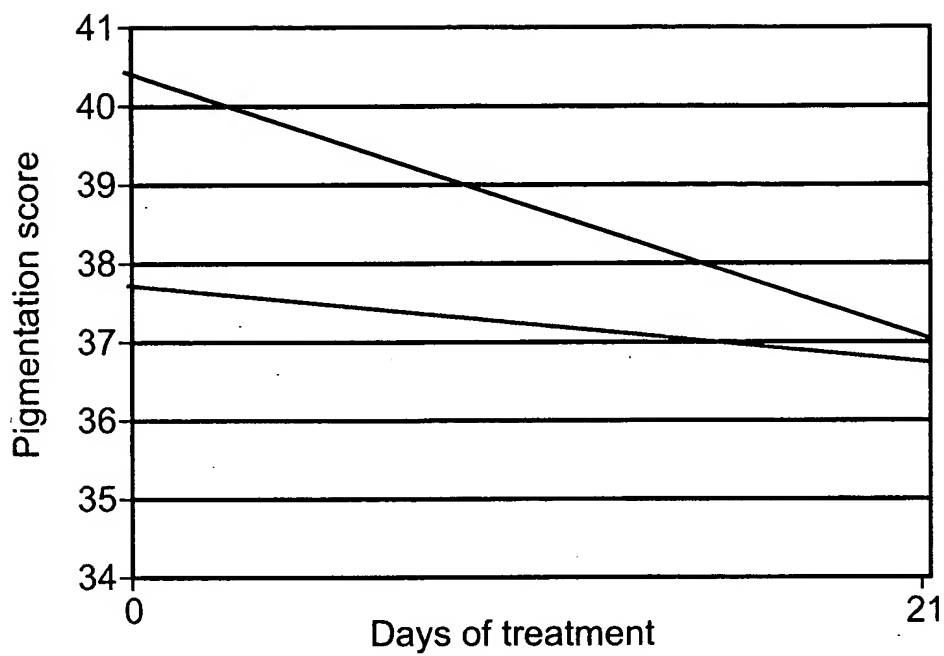


Fig. 12c

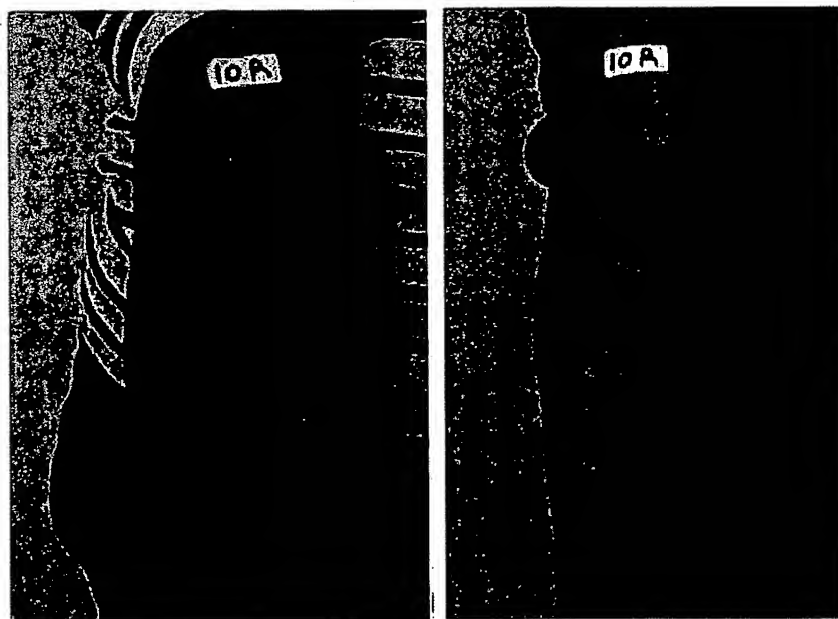


Fig. 13a

Fig. 13b

BEST AVAILABLE COPY



9/11

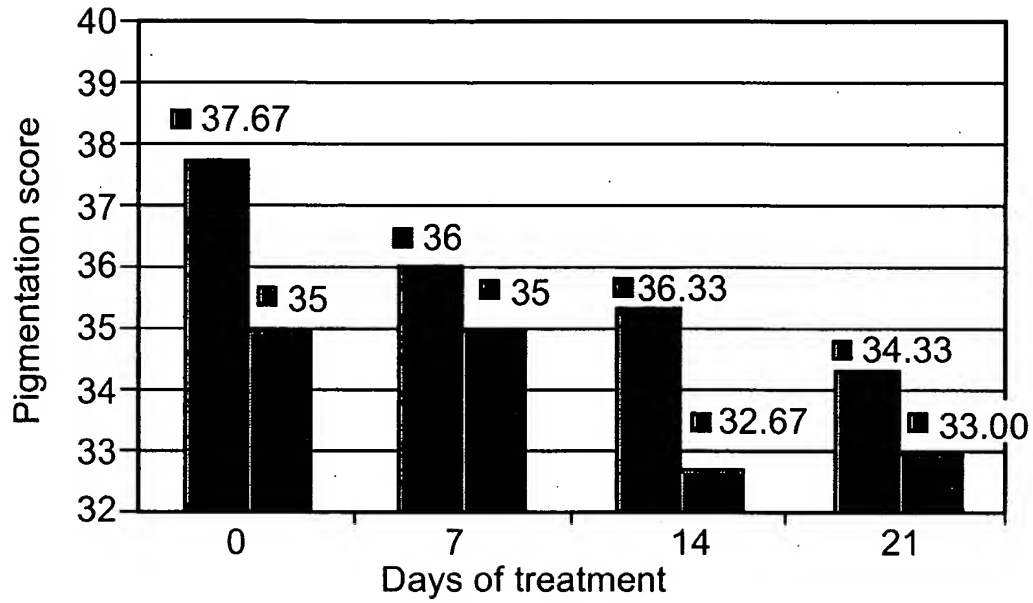


Fig. 14a

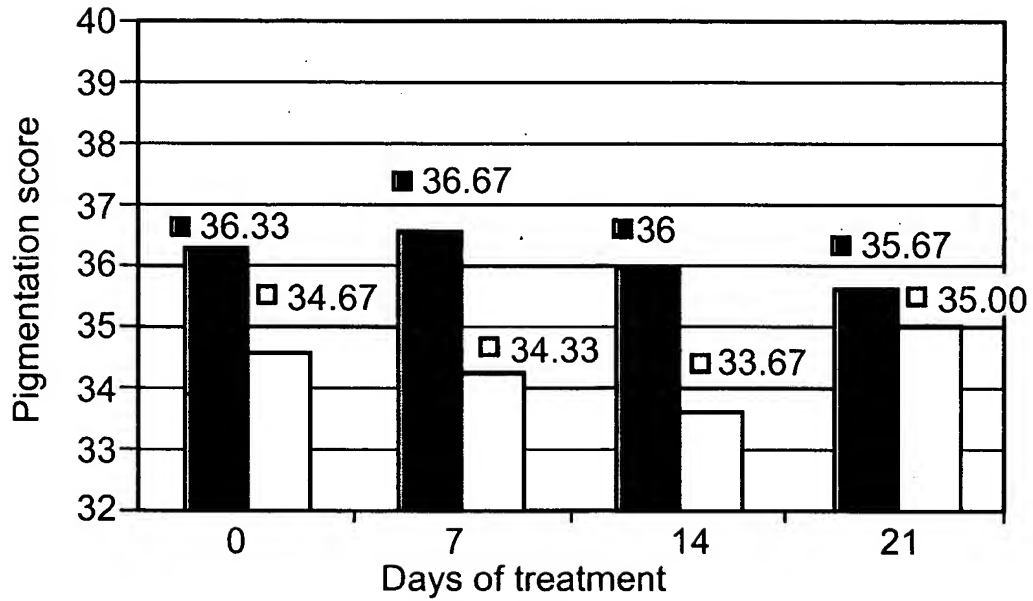


Fig. 14b

10/11

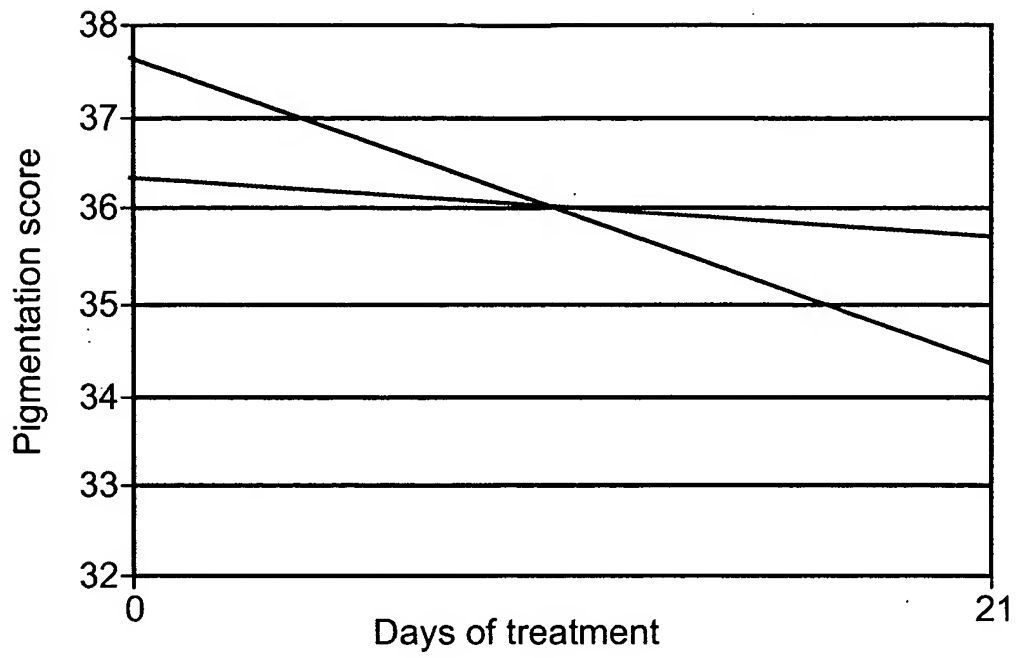


Fig. 14c

BEST AVAILABLE COPY

11/11

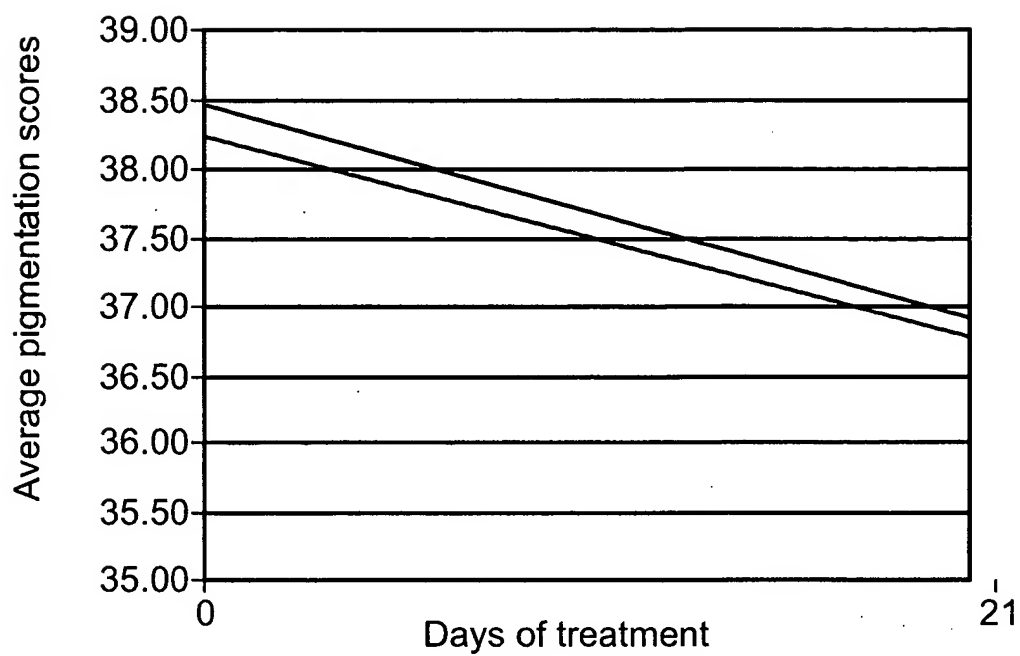


Fig. 15a

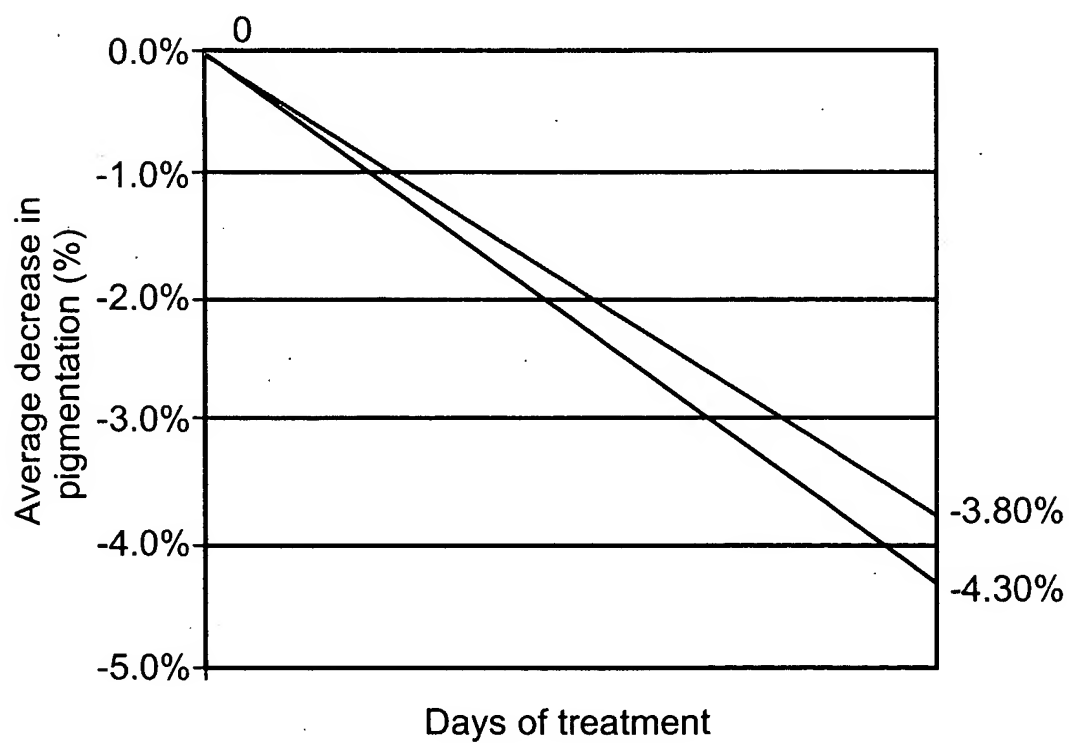


Fig. 15b